

$n_1 = 0$  смещение имеет место при  $\kappa < 0,5$  и  $\kappa > 2$  соответственно. В сечении  $n_2 = 0$  при любом направлении оси упругой симметрии среды наблюдается «эффект всплеска».

Таким образом, полученные результаты показывают, когда при решении конкретных задач целесообразны применение пространственной модели и учет анизотропии среды.

#### ЛИТЕРАТУРА

1. Кунин И. А., Соснина Э. Г. Концентрация напряжений на эллипсоидальной неоднородности в анизотропной упругой среде // ПММ.— 1973.— Т. 37, вып. 2.
2. Миренкова Г. Н., Соснина Э. Г. Полая эллипсоидальная игла в ортотропной упругой среде // ПММ.— 1990.— Т. 54, вып. 6.
3. Миренкова Г. Н., Соснина Э. Г. Жесткий эллипсоидальный диск и игла в анизотропной упругой среде // ПММ.— 1981.— Т. 45, вып. 1.
4. Гельфанд И. М., Шиллов Г. Е. Обобщенные функции и действия над ними.— М.: ГИФМЛ, 1959.
5. Лехницкий С. Г. Теория упругости анизотропного тела.— М.: Наука, 1977.
6. Кунин И. А., Миренкова Г. Н., Соснина Э. Г. Эллипсоидальная трещина и игла в анизотропной упругой среде // ПММ.— 1973.— Т. 37, вып. 3.

г. Новосибирск

Поступила 2/X 1991 г.

УДК 539.3

А. Б. Киселев, М. В. Юмашев

### МАТЕМАТИЧЕСКАЯ МОДЕЛЬ ДЕФОРМИРОВАНИЯ И РАЗРУШЕНИЯ ТВЕРДОГО ТОПЛИВА ПРИ УДАРНОМ НАГРУЖЕНИИ

Движение многих типов ракет обеспечивается твердыми видами горючего. Структура таких материалов очень неоднородна вследствие соединения расплавленных кристаллических наполнителей сгорания (окислителей) и полимерной матрицы, которая составляет в весовом отношении большой процент. Технология изготовления твердых топлив не позволяет полностью исключить наличие рассеянных микропор, которые могут явиться одной из причин неприятностей при эксплуатации. Могут появиться поры и в результате длительного хранения топлива, поскольку и в обычных условиях в нем идут медленные химические реакции, в результате которых материал «газит», что, в частности, и приводит к разрыву микропор. Кроме того, на практике имеют место аварийные ситуации, например при транспортировке, в результате которых происходит удар по блоку твердого топлива инородным телом, падение блока. Вследствие этого могут появиться повреждения, трещины в топливе. Поведение их представляет большой интерес, так как по ним формируется доминирующая траектория горения, что может привести к нарушению равновесия конструкции в полете или даже взрыву системы [1]. Прогнозирование поведения твердых топлив при ударном нагружении, оценки уровней допустимых с точки зрения целостности конструкций и их пожаровзрывоопасности динамических нагрузок составляет одну из важнейших проблем, стоящих перед исследователями.

Предлагаемая в настоящей работе модель твердого топлива как пористой термоупругопластической среды принадлежит к классу моделей сред с внутренними параметрами состояния, активно разрабатываемому в настоящее время на основе термодинамических принципов механики сплошной среды. Основы феноменологического описания таких сред заложены в [2—4], представление об основных направлениях развития ко-

торых дано в [5—10] и приведенной там библиографии. Наиболее близка рассматриваемая модель к модели повреждаемой термоупругопластической среды [11].

1. Модель среды. Система определяющих уравнений предлагаемой модели получается аналогично [11], если вместо одного из внутренних параметров состояния модели [11] (повреждаемости  $\omega$ ) ввести параметр пористости  $\alpha$  ( $0 \leq \alpha < 1$ ) — объемное содержание микропор (пустот в топливе). Тогда основные определяющие уравнения запишутся следующим образом:

$$(1.1) \quad \begin{aligned} \dot{\sigma}' &= K_0 \left( \dot{\epsilon}_{kk} - \alpha_V \dot{T} - \frac{A}{3} \dot{\alpha} \frac{\partial \alpha}{\partial \sigma} \right), \\ (\tau'_{ij})^\nabla + \lambda \tau'_{ij} &= 2\mu_0 \dot{\epsilon}_{ij}, \quad \tau'_{ij} \tau'_{ij} \leq \frac{2}{3} Y^2, \\ \rho c_\sigma \dot{T} + \alpha_V \dot{\sigma}' T &= \tau'_{ij} \dot{\epsilon}_{ij}^p + A \dot{\alpha}^2 - \operatorname{div} \mathbf{q}, \\ \tau_{ij} &= S_{ij} + \Gamma \epsilon_{ij}^p, \quad \tau'_{ij} = \frac{\tau_{ij}}{1-\alpha}, \quad \sigma' = \frac{\sigma}{1-\alpha}. \end{aligned}$$

Здесь  $\sigma_{ij}$  — компоненты тензора напряжений, разбиваемого на два взаимно ортогональных тензора: шаровой  $\sigma \delta_{ij} = \sigma_{kk} \delta_{ij}/3$  и девiator  $S_{ij}$ :  $\sigma_{ij} = \sigma \delta_{ij} + S_{ij}$ ;  $\epsilon_{ij}$ ,  $\epsilon_{ij}^e$ ,  $\epsilon_{ij}^p$  — компоненты тензоров деформаций, упругих и пластических деформаций соответственно ( $\epsilon_{ij} = \epsilon_{ij}^e + \epsilon_{ij}^p$ ,  $\epsilon_{kk}^p = 0$ );  $e_{ij}$  — компоненты девiatorа тензора деформаций;  $T$  — абсолютная температура;  $\mathbf{q}$  — тепловой поток;  $K_0$ ,  $\mu_0$  — модули объемного сжатия и сдвига сплошного материала ( $\alpha = 0$ );  $\alpha_V$  — коэффициент объемного расширения;  $Y$  — предел текучести;  $c_\sigma$  — теплоемкость при постоянных напряжениях;  $A$ ,  $\Gamma$  — характеристики материала; точка над символом означает материальную производную по времени; значком  $\nabla$  обозначена яumannовская производная по времени от компонент тензора.

Определяющие уравнения (1.1) получены на основе общепризнанного термодинамического анализа в предположении упругопластического поведения материала при следующих упрощающих предположениях.

А. Упругие деформации малы:  $\epsilon_{ij}^e \epsilon_{ij}^e \ll 1$ .

Б. Свободная энергия  $F_p$ , являющаяся функцией независимых переменных  $\epsilon_{ij}^e$ ,  $\epsilon_{ij}^p$ ,  $\alpha$  и  $T$ , может быть представлена в виде суммы двух слагаемых:

$$F = F_1(\epsilon_{ij}^e, \alpha, T) + F_2(\epsilon_{ij}^p, \alpha, T).$$

Эта гипотеза равносильна предположению о том, что накопленные пластические деформации не изменяют упругих свойств материала [11].

В. Функцию диссипации  $d \geq 0$  можно записать как сумму трех неотрицательных слагаемых:

$$\begin{aligned} d &= d_M + d_p + d_T, \quad d_M = \left( \sigma_{ij} - \rho \frac{\partial F}{\partial \epsilon_{ij}^p} \right) \dot{\epsilon}_{ij}^p \geq 0, \\ d_p &= -\rho \frac{\partial F}{\partial \alpha} \dot{\alpha} \geq 0, \quad d_T = -\frac{\mathbf{q} \operatorname{grad} T}{T} \geq 0 \end{aligned}$$

( $d_M$  — мощность механической диссипации,  $d_p$  — мощность диссипации энергии за счет процесса эволюции рассеянных микропор,  $d_T$  — мощность термической диссипации). Кроме того, введено обозначение

$$\tau_{ij} = \sigma_{ij} - \rho \frac{\partial F}{\partial \epsilon_{ij}^p}.$$

Тензор  $\tau_{ij}$  принято называть тензором «активных» напряжений. Из (1.1) видно, что если свободная энергия  $F$  зависит от пластических деформаций  $\epsilon_{ij}^p$ , то процесс диссипации энергии определяется не истинными напряжениями  $\sigma_{ij}$ , а «активными» напряжениями  $\tau_{ij}$ . Введение пластических деформаций  $\epsilon_{ij}^p$  в свободную энергию  $F$  позволяет учесть деформационную анизотропию материала, возникающую при пластическом деформировании.

Предполагается также, что

$$-\rho \frac{\partial F}{\partial \varepsilon_{ij}^p} = \Gamma \varepsilon_{ij}^p, \quad -\rho \frac{\partial F}{\partial \alpha} = A \dot{\alpha}$$

( $\Gamma \geq 0$ ,  $A \geq 0$  — параметры материала). Последние из соотношений при  $A = \text{const}$  есть следствие теории Онзагера [12].

Г. Модули  $K$  и  $\mu$  пористого материала зависят от пористости  $\alpha$ :

$$K = K_0 (1 - \alpha), \quad \mu = \mu_0 (1 - \alpha).$$

В качестве кинетического уравнения для параметра пористости  $\alpha$ , замыкающего систему (1.1), принимается следующее:

$$(1.2) \quad \dot{\alpha} = \frac{\sigma - \sigma^+}{4\eta} H(\sigma - \sigma^+) + \frac{\sigma - \sigma^-}{4\eta} H(\sigma^- - \sigma).$$

Здесь

$$(1.3) \quad \sigma^+ = -\frac{2}{3} Y \ln \alpha - p_0 \left(\frac{\alpha_0}{\alpha}\right)^k, \quad \sigma^- = \frac{2}{3} Y \ln \alpha - p_0 \left(\frac{\alpha_0}{\alpha}\right)^k$$

( $\eta$  — динамическая вязкость материала,  $\alpha_0$  — начальная пористость). Уравнения (1.2), (1.3) получены из решения задачи динамики одной сферической поры внутреннего радиуса  $a$  и внешнего  $b$  в вязкопластическом несжимаемом материале при  $\alpha = a^3/b^3$  [13—16]. Кроме того, при этом приближенно учитывалось давление газа, содержащегося в поре, на ее внутреннюю поверхность, а также изменение радиуса полости с учетом, что давление в газовой полости мгновенно реагирует на изменение радиуса полости. Процесс сжатия газа считался адиабатическим [17]. В (1.3)  $p_0$  — начальное давление газа в поре,  $k$  — показатель адиабаты.

Модель (1.1)—(1.3) обобщает модель упругопластического течения типа Прандтля — Рейса с критерием текучести Мизеса и учитывает анизотропию пластического деформирования ( $\Gamma \neq 0$ ), наличие микропор в материале, их рост в волнах растяжения и схлопывание в волнах сжатия, взаимовлияние пористости и напряженного состояния материала, температурные эффекты. Явной зависимостью от скоростей деформаций в предлагаемой модели пренебрегается, поскольку предполагается использовать модель в таких задачах высокоскоростного нагружения материала, когда вязкостными эффектами, за исключением инерции пор, можно пренебречь. Действительно, характерное время задачи  $t_a = L/c_0$  много больше времени релаксации  $\tau = \eta/\mu$ , которое в свою очередь сравнимо с характерным временем в задаче динамики отдельной поры  $t_p = d/c_0$  ( $L$  — характерный размер тела,  $c_0$  — скорость звука в материале,  $d$  — диаметр поры).

Предел текучести  $Y$  и модуль сдвига  $\mu$  зависят от температуры, давления, других параметров состояния. Принимается, что эта зависимость может быть описана моделью Штейнберга — Гуинана [18]:

$$Y = Y_0 (1 + \beta \varepsilon_n^p)^n \left(1 - b \sigma \left(\frac{\rho_0}{\rho}\right)^{1/3} - h(T - T_0)\right),$$

$$Y_0 (1 + \beta \varepsilon_n^p)^n \leq Y_{\max}, \quad Y_0 = 0 \quad \text{при} \quad T > T_m,$$

$$T_m = T_{m0} \left(\frac{\rho_0}{\rho}\right)^{2/3} \exp\left(2\gamma_0 \left(1 - \frac{\rho_0}{\rho}\right)\right),$$

$$\mu_0 = \mu_{00} \left(1 - b \sigma \left(\frac{\rho_0}{\rho}\right)^{1/3} - h(T - T_0)\right)$$

( $\varepsilon_n^p$  — интенсивность пластических деформаций,  $Y_0$ ,  $Y_{\max}$ ,  $h$ ,  $\mu_{00}$ ,  $\beta$ ,  $n$ ,  $b$ ,  $\gamma_0$  — постоянные материала).

**2. Критерий разрушения.** В качестве критерия разрушения твердого топлива (зарождение трещин — новой свободной поверхности в материале) принимается условие достижения удельной (на единицу массы) дис-

сипацией предельного значения  $D_*$  [11, 19]:

$$(2.1) \quad D = \int_0^{t_*} \frac{1}{\rho} d \, dt = D_*.$$

Здесь  $t_*$  — время разрушения;  $D_*$  — константа материала, определяемая экспериментально;  $d$  — функция диссипации, которая для рассматриваемой модели среды имеет вид

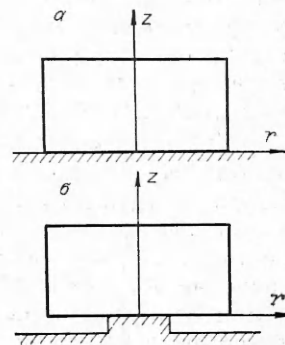
$$(2.2) \quad d = \tau_{ij} \dot{\epsilon}_{ij}^p + A \dot{\alpha}^2 - \frac{q \operatorname{grad} T}{T}.$$

Критерий (2.1) можно отнести в соответствии с классификацией [20] к классу энтропийных критериев разрушения ( $d = \rho \gamma$ ,  $\gamma$  — производство энтропии [11]). Такой критерий разрушения позволяет в принципе описывать процесс разрушения двумя механизмами. Первый — рост и слияние микропор, например, при откольном разрушении в волнах растяжения (в этом случае определяющий вклад в (2.1), (2.2) наряду с мощностью механической диссипации  $d_m = \tau_{ij} \dot{\epsilon}_{ij}^p$  дает  $d_p = A \dot{\alpha}^2$  — мощность диссипации энергии за счет роста микропор). В случае процесса разрушения растяжением ему может способствовать предварительное ударное сжатие материала, приводящее к разогреву материала, в результате чего он становится более «податливым» и разрушение растяжением протекает быстрее. Второй механизм — разрушение сдвигом, например, при внедрении в блок топлива инородного тела с плоским передним срезом. В этом случае в материале развиваются узкие зоны интенсивного адиабатического сдвига в местах концентрации напряжений по периферии внедряемого тела. Работа пластических деформаций почти полностью превращается в тепло, которое из-за высоких локальных скоростей деформации не успевает распространиться на существенное расстояние от зон развитых пластических деформаций. В результате температура в зонах поднимается, появляются большие градиенты температуры, что вызывает дополнительное пластическое течение и дальнейшую концентрацию локальных пластических деформаций и приводит в конечном счете к движению в материале «пробки», а в ряде случаев к выбиванию «пробки» из блока топлива. При разрушении сдвигом определяющий вклад в (2.1), (2.2) дают члены  $d_m = \tau_{ij} \dot{\epsilon}_{ij}^p$  и  $d_T = -q \operatorname{grad} T / T$ . Последний — мощность термической диссипации — в случае закона теплопроводности Фурье  $q = -\kappa \operatorname{grad} T$  имеет вид  $d_T = \kappa (\operatorname{grad} T)^2 / T$ .

**3. Апробация модели.** Для апробации модели решены двумерные осесимметрические задачи нормального соударения цилиндрических блоков с жесткой стенкой и жестким цилиндрическим выступом (рис. 1, а, б).

Поскольку характерное время процесса соударения мало (время нескольких пробегов упругих волн по ударнику), задачи соударения решались в адиабатическом приближении ( $\operatorname{div} q = 0$ ). Кроме того, пренебрегаем деформационной анизотропией материала, полагая  $\Gamma = 0$ . В этом случае уравнения массы, импульса и внутренней энергии записываются в цилиндрической системе координат  $rz$ :

$$(3.1) \quad \begin{aligned} \frac{\dot{\rho}}{\rho} &= -\dot{\epsilon}_{rr} - \dot{\epsilon}_{zz} - \dot{\epsilon}_{\theta\theta}, \\ \rho \dot{v}_r &= \frac{\partial \sigma}{\partial r} + \frac{\partial S_{\tau r}}{\partial r} + \frac{\partial S_{r\tau}}{\partial z} + \frac{S_{rr} - S_{\theta\theta}}{r}, \\ \rho \dot{v}_z &= \frac{\partial \sigma}{\partial z} + \frac{\partial S_{\tau z}}{\partial z} + \frac{\partial S_{z\tau}}{\partial r} + \frac{S_{rz}}{r}, \\ \rho c_\sigma \dot{T} + \alpha_V \dot{\sigma} T &= S_{rr} \dot{\epsilon}_{rr}^p + S_{zz} \dot{\epsilon}_{zz}^p + S_{\theta\theta} \dot{\epsilon}_{\theta\theta}^p + \\ &+ 2S_{rz} \dot{\epsilon}_{rz}^p + A \dot{\alpha}^2. \end{aligned}$$



Р и с. 1

Выражения для скоростей деформации запишем как

$$(3.2) \quad \dot{\varepsilon}_{rr} = \frac{\partial v_r}{\partial r}, \quad \dot{\varepsilon}_{zz} = \frac{\partial v_z}{\partial z}, \quad \dot{\varepsilon}_{\theta\theta} = \frac{v_r}{r}, \quad \dot{\varepsilon}_{rz} = \frac{1}{2} \left( \frac{\partial v_r}{\partial z} + \frac{\partial v_z}{\partial r} \right)$$

( $v_r, v_z$  — проекции вектора скорости на оси  $r, z$ ).

Начальные условия при  $t = 0$ :

$$v_r = 0, \quad v_z = -V_0, \quad \rho = \rho_0, \quad \sigma = S_{ij} = 0$$

( $V_0$  — начальная скорость удара).

Граничные условия:  $\sigma_{ij}n_j = 0$  на свободной поверхности ударника ( $n_j$  — компоненты единичного вектора внешней нормали к поверхности ударника),  $v_z = 0, \sigma_{rz} = 0$  на части  $\Sigma(t)$  поверхности ударника, находящейся в контакте с преградой ( $\Sigma(t)$ ) и свободная поверхность ударника определяются в процессе решения задачи, и условие скольжения ударника вдоль преграды без трения.

Для определения момента отскока ударника от преграды используется критерий обращения в нуль их силы взаимодействия [21, 22]:

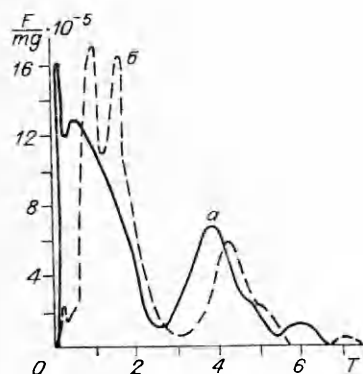
$$(3.3) \quad F(t) = - \int_{\Sigma(t)} \sigma_{zz} dz.$$

Задача соударения решалась численно на лагранжевой расчетной сетке по явной конечно-разностной схеме типа [18]. Расчеты проведены для твердого VRA-топлива при  $\rho_0 = 1850$  кг/м,  $K_0 = 5,666$  ГПа,  $\mu_0 = 1,244$  ГПа,  $Y = 0,0866$  ГПа,  $\alpha_V = 3 \cdot 10^{-6}$  К $^{-1}$ ,  $c_\sigma = 1,23$  кДж/(кг·К),  $T_m = 1000$  К. Коэффициент динамической вязкости  $\eta = 10$  Па·с, что характерно для твердых реагирующих веществ [16]. Начальная температура  $T_0 = 300$  К, газ, заполняющий микропоры, — воздух при нормальных условиях:  $p_0 = 0,1$  МПа,  $k = 1,4$ . Для параметра связности процессов деформирования и эволюции микропор принято  $A = 5 \cdot 10^3$  Па·с. Такое значение  $A$  было получено следующим образом. Численно решалась задача о динамическом сжатии микропоры начального внешнего радиуса  $b_0$  и внутреннего  $a_0$ , содержащей газ или полую, под действием импульса внешнего давления  $P = P(t)$ , равномерно распределенного по внешней поверхности ячейки, длительностью  $\tau$  [17]. При этом определялась среднемассовая температура ячейки на момент снятия нагрузки

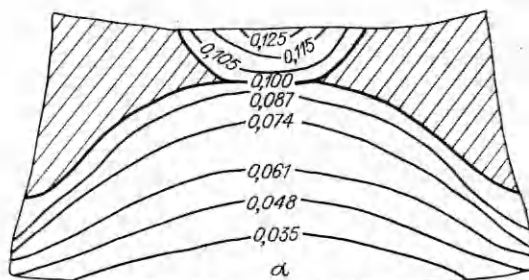
$$\langle T \rangle = \int_a^b 4\pi r^2 \rho T dr / \int_a^b 4\pi r^2 \rho dr$$

для «пористой» ячейки ( $a_0 \neq 0$ ) —  $\langle T \rangle$  и «сплошной» ( $a_0 = 0$ ) —  $\langle \dot{T} \rangle$ .

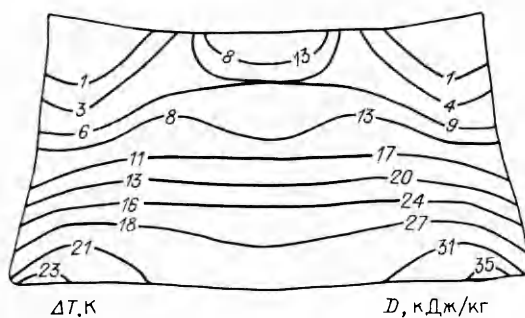
Тем самым находилось приращение температуры  $\Delta \langle T \rangle = \langle T \rangle - \langle \dot{T} \rangle$  за счет «пористости» ячейки. Задача о динамике микропоры ставилась в одномерной постановке с учетом сферической симметрии задачи, газ считался совершенным, процесс — адиабатическим. В качестве определяющих уравнений для материала поры использовались уравнения термоупруговязкопластичности типа Пэжины [23]. Коэффициент динамической вязкости  $\eta$  брался тем же, что и в кинетическом уравнении (1.2). Затем численно решалась задача о плоском ударе со скоростью  $V_0$  алюминиевой пластинки по исследуемому материалу с пористостью  $\alpha_0 = a_0^2/b_0^2$  и  $\alpha_0 = 0$  в термоупругопластическом приближении (1.1). Подробно задача плоского соударения рассмотрена, например, в [11, 19]. Скорость удара  $V_0$  и толщина  $H$  ударника подбирались таким образом, чтобы обеспечить в лицевом слое мишени давление порядка  $P$  длительности  $\tau$ . Варьированием параметра  $A$  модели (1.1) подбиралось такое значение  $A$ , чтобы обеспечивались такие же приращения температуры в лицевом слое пористой мишени по сравнению со сплошной ( $\alpha_0 = 0$ ), какое было получено в задаче об изолированной поре. Расчеты проводились для различных  $b_0, \alpha_0, P, \tau$ . При этом удалось подобрать указанное



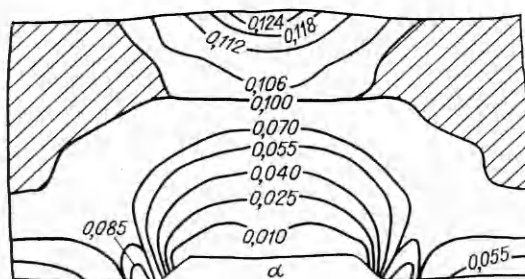
Р и с 2



Р и с 3



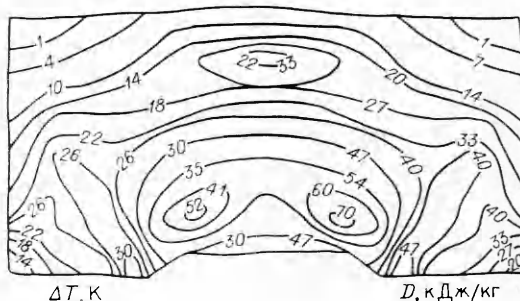
Р и с 4



Р и с 5

выше значение  $A$ , которое вполне удовлетворительно описывает все проведенные расчеты.

Некоторые из результатов расчетов, выполненных для  $V_0 = 200$  м/с,  $\alpha_0 = 0,1$ , представлены на рис. 2—6. На рис. 2 даны зависимости безразмерной силы взаимодействия  $F(t)/mg$  ударников с преградой для случаев  $a$ ,  $b$ , приведенных на рис. 1 ( $mg$  — вес ударника,  $\bar{t} = tc_0/H$  — безразмерное время,  $c_0 = \sqrt{(K_0 + \frac{4}{3}\mu_0)/\rho_0}$  — скорость звука). На рис. 3 показаны



Р и с 6

линии уровня пористости  $\alpha$ , на рис. 4 — приращения температуры  $\Delta T$  (цифры слева) и диссипации  $D$  (цифры справа) в момент отскока ударника от плоской стенки, на рис. 5 — линии уровня пористости  $\alpha$ , а на

рис. 6 — приращения температуры  $\Delta T$  (цифры слева) и диссипации  $D$  (цифры справа) в момент отскока ударника от стенки с выступом.

Как следует из проведенных расчетов, процесс взаимодействия ударников с преградами носит ярко выраженный волновой характер. От контактной поверхности ударник — преграда в начале процесса соударения формируется волна сжатия двухволновой конфигурации, скорости составляющих которой значительно отличаются. Первая волна упругая, вторая пластическая. Амплитуда и скорость последней зависят от скорости удара. Волны разгрузки, идущие от боковых поверхностей ударников, свободных от нагрузки, снижают интенсивность волн нагрузки и искривляют первоначально плоский фронт сжатия, и поэтому напряженно-деформированное состояние ударников существенно отличается от напряженно-деформированного состояния, рассчитанного в одномерном приближении (одноосное напряженное состояние (стержневое приближение) или одноосное деформированное состояние (приближение тонкой пластины)). Достигнув свободной тыльной поверхности ударника, упругая волна отражается от свободной поверхности волной разгрузки и движется навстречу фронту пластической волны сжатия. В результате их взаимодействия интенсивность пластической волны уменьшается, а в сторону свободной тыльной поверхности опять распространяется упругая волна сжатия. Описанный процесс продолжается до тех пор, пока система волн разгрузки (как от тыльной, так и от боковой поверхности) не снимет полностью амплитуду пластической волны сжатия. В конечном счете напряжения становятся растягивающими. В силу этого и происходит отскок ударника от преграды. Влияние свободной боковой поверхности приводит к тому, что контакт точек ударяющего торца нарушается одновременно, что видно, в частности, из рис. 2. Отошедшие точки контакта через некоторое время снова возвращаются на поверхность мишени. Подробнее этот вопрос освещен в [22] для удара призматического стержня по жесткой стенке.

В случае удара цилиндром по стенке с выступом процесс взаимодействия носит существенно неоднородный характер уже с первых мгновений соударения. Первый всплеск силы взаимодействия (рис. 2, линия *б*) связан с ударом основной части лицевой поверхности цилиндра по преграде. В дальнейшем график силы взаимодействия близок к графику силы  $F(t)$  в случае удара по стенке без выступа (рис. 2, линия *а*). Длительности взаимодействия для двух этих случаев заметно различаются, что связано с влиянием выступа.

Обращает на себя внимание тот факт, что для рассмотренного материала в меньшей степени, чем для металлов, характерно явление так называемого промежуточного отскока (обращение в нуль силы взаимодействия  $F(t)$  до наступления окончательного отскока ударника от преграды), наблюдаемое для металлов как для удлиненных ударников (промежуточный отскок на заключительной стадии взаимодействия), так и (наиболее ярко выраженное) для коротких ударников (промежуточный отскок в середине процесса взаимодействия) [22, 24]. Связано это, по-видимому, с большой сжимаемостью топлива, в том числе за счет наличия микропор.

Характер распределения линий уровня приращения температуры  $\Delta T$  и диссипации  $D$  одинаков. Неоднородность полей  $\Delta T$  и  $D$  зависит от характерных зон деформирования. Зоны повышенных температур у свободных торцов ударников связаны с волновым характером деформирования (интенсивное растяжение материала в местах столкновения встречных волн разгрузки, идущих от лицевой и тыльной поверхностей ударника). Наибольшее повышение температуры в случае удара по плоской стенке наблюдается вблизи лицевой поверхности по периферии ударника. При ударе по стенке с выступом наибольшая диссипация энергии происходит вблизи выступа в кольцевой области, радиус которой примерно равен радиусу каверны, созданной выступом. В указанных областях повышенной диссипации энергии и следует ожидать разрушения материала.

Вблизи контактной поверхности ударник — преграда происходит пластическое затекание пор, а около тыльной поверхности — их рост. Существуют значительные области, заштрихованные на рис. 3, 5, пористость в которых остается неизменной. Данное явление отмечалось и в [25].

Таким образом, построена связанная модель пористого термоупругопластического тела. Предложен критерий разрушения предельной удельной диссипации, позволяющий в принципе описывать разрушение в условиях сложного напряженного состояния как механизмом сдвига, так и механизмом отрыва за счет увеличения пористости материала. В зонах сжатия происходит пластическое затекание пор. Изменение пористости в свою очередь показывает влияние на напряженное состояние материала и сопровождается диссипацией энергии. Учитывается наличие газа в порах. На примере решения задач соударения цилиндрических образцов с твердыми преградами показано, что модель правильно описывает основные особенности процесса, а критерий разрушения позволяет предсказать области макроразрушения.

#### ЛИТЕРАТУРА

1. Невьер Р., Наит-Абделаиз М., Плюванаж Г. Методика исследования нарушения твердых видов ракетного топлива // Пробл. прочности.— 1989.— № 3.
2. Качанов Л. М. О времени разрушения в условиях ползучести // Изв. АН СССР. ОТИ.— 1958.— № 8.
3. Работнов Ю. Н. Ползучесть элементов конструкций.— М.: Наука, 1966.
4. Ильющин А. А. Об одной теории длительной прочности // Инж. журн. МТТ.— 1967.— № 3.
5. Соснин О. В. О варианте теории ползучести с энергетическими параметрами упрочнения // Механика деформируемых тел и конструкций.— М.: Машиностроение, 1975.
6. Никифоровский В. С., Шемякин Е. И. Динамическое разрушение твердых тел.— Новосибирск: Наука, 1979.
7. Шестериков С. А., Локощенко А. М. Ползучесть и длительная прочность металлов // Итоги науки и техники. Сер. Механика деформируемого твердого тела.— М.: ВИНТИ, 1980.— Т. 13.
8. Болотин В. В. Объединенные модели в механике разрушения // Изв. АН СССР. МТТ.— 1984.— № 3.
9. Кукуджанов В. И. К численному моделированию нестационарных процессов деформирования и разрушения упругопластических тел при больших деформациях // Математические методы механики деформируемого твердого тела.— М.: Наука, 1986.
10. Кондауров В. И., Никитин Л. В. Основы реологии геоматериалов.— М.: Наука, 1990.
11. Киселев А. Б., Юмашев М. В. Деформирование и разрушение при ударном нагружении. Модель повреждаемой термоупругопластической среды // ПМТФ.— 1990.— № 5.
12. Пригожин И. Введение в термодинамику необратимых процессов.— М.: ИЛ, 1960.
13. Григорьев В. Г., Дунин С. З., Сурков В. В. Захлопывание сферической поры в вязкопластическом материале // Изв. АН СССР. МТТ.— 1981.— № 1.
14. Голубев В. К. О расширении пор в пластических металлах при отколах // ПМТФ.— 1983.— № 6.
15. Галиев Ш. У. Нелинейные волны в ограниченных сплошных средах.— Киев: Наук. думка, 1988.
16. Селиванов В. В., Соловьев В. С., Сысоев Н. Н. Ударные и детонационные волны. Методы исследования.— М.: Изд-во МГУ, 1990.
17. Киселев А. Б., Юмашев М. В. Численное исследование ударного сжатия микропоры в термоупруговязкопластическом материале // Вестн. МГУ. Сер. 1. Математика, механика.— 1992.— № 1.
18. Wilkins M. L. Modelling the behaving of materials // Struct. impact and crashworth // Proc. Int. Conf.— L.; N. Y., 1984.— V. 2.
19. Киселев А. Б., Юмашев М. В. О критериях динамического разрушения термоупругопластической среды // Вестн. МГУ. Сер. 1. Математика, механика.— 1990.— № 4.
20. Победра Б. Е. О критериях разрушения структурно-неоднородных материалов // Пластичность и разрушение твердых тел.— М.: Наука, 1988.
21. Гулидов А. И., Фомин В. М. Численное моделирование отскока осесимметричных стержней от твердой преграды // ПМТФ.— 1980.— № 3.
22. Киселев А. Б. Численное исследование в трехмерной постановке процесса соударения упругопластических тел с жесткой преградой // Вестн. МГУ. Сер. 1. Математика, механика.— 1985.— № 4.



23. Пэжина П. Основные вопросы вязкопластичности. — М.: Мир, 1968.  
 24. Бойко В. М., Гулидов А. И., Папырин А. И. и др. Экспериментально-теоретическое исследование отскока коротких стержней от твердой преграды // ПМТФ. — 1982. — № 5.  
 25. Киселев С. П., Фомин В. М., Шитов Ю. А. Численное моделирование отскока пористого цилиндра от жесткой преграды // ПМТФ. — 1990. — № 3.

г. Москва

Поступила 25/XI 1991 г.

УДК 624.139

А. А. Коновалов

### ЗАКОНОМЕРНОСТИ КИНЕТИЧЕСКОЙ ТЕОРИИ ПРОЧНОСТИ МЕРЗЛЫХ ГРУНТОВ

В работах [1, 2], посвященных реологии мерзлых грунтов, показана кинетическая природа прочности мерзлых грунтов, дано физическое истолкование параметрам уравнения длительной прочности с позиций атомно-кинетической концепции. Однако в математическом аппарате реологии мерзлых грунтов эти воззрения не отражены. Не проявлены и не нашли применения количественные соотношения и параметры, выражающие температурно-временную зависимость прочности, общие для всех твердых тел, согласно [3]. В основу количественных методов определения прочностных характеристик мерзлого грунта фактически легли обычные интерполяционные формулы, включающие эмпирические коэффициенты, в частности [1]:

$$(1) \quad \tau = (g/\sigma)^{1/\Gamma}.$$

Здесь  $\tau$  — время до разрушения (долговечность);  $\sigma$  — давление;  $g$  и  $\Gamma$  — эмпирические коэффициенты, зависящие от температуры, состава грунта, типа нагрузки и т. д.

Попытаемся найти температурную зависимость прочности мерзлого грунта в явном виде. Формулу (1) удобно представить как

$$(2) \quad \tau = \tau_0(\sigma_m/\sigma)^{1/\Gamma},$$

где  $\sigma_m$  — мгновенная (максимальная) прочность, соответствующая минимальной долговечности («мгновению»)  $\tau_0$ . По представлениям атомно-кинетической концепции физическое «мгновение» равно периоду тепловых колебаний атомов  $\tau_0 \approx 10^{-13}$  с.

Анализ фактических данных по испытаниям мерзлых грунтов при разных составе, температуре, напряженном состоянии, материале и форме фундамента и т. п. показывает следующее [4].

Во-первых, графики зависимости  $\lg \sigma$  от  $\lg \tau$  для мерзлых грунтов, испытанных при одной температуре, но прочих разных условиях, сходятся в одну точку — полюс с координатами  $\tau_0 \approx 10^{-13}$  с ( $10^{-14,8}$  мин) и  $\sigma = \sigma_m$ . Во-вторых, графики временных зависимостей прочности мерзлых грунтов, испытанных при разных температурах, но при прочих равных условиях, не сходятся в одной точке, как у твердых тел, а идут примерно параллельно друг другу. Это видно, например, из рис. 1, на котором приведены экспериментальные данные о прочности мерзлой супеси на сжатие (а) и мерзлой глины на сцепление (б) при разных температурах, заимствованные из [1], обработанные автором настоящей работы с использованием формулы (2) (линии 1—3 для  $t = -5, -10, -20$  °С). Аналогичные результаты получаются при обработке с помощью (2) фактических данных из [4]. Это говорит о том, что угловой коэффициент не зависит от температуры, а является функцией всех прочих условий. От температуры зависят второй параметр уравнения длительной прочности  $g$  и входящая в его выражение вторая координата полюса  $\sigma_m$ .